

# TRATAMENTO NEOADJUVANTE DO CÂNCER DE MAMA COM O PEPTÍDEO LW-9 E AVALIAÇÃO DE SOBREVIDA LIVRE DE DOENÇA EM MODELO MURINO

Palavras-Chave: câncer de mama, Phoneutria nigriventer, terapia neoadjuvante e adjuvante

Autores(as):

SABRINA CARVALHO BRUNELLI, FCF - UNICAMP INGRID MAYARA CAVALCANTE TREVISAN, FCF - UNICAMP DANAÊ FERNANDA AVANZE CAÇÃO, FCF - UNICAMP CIBELE PEREIRA MARIANO, FCF - UNICAMP Prof(a). Dr(a). CATARINA RAPÔSO (orientadora), FCF - UNICAMP

# **INTRODUÇÃO:**

O câncer de mama é uma das neoplasias que mais acometem as mulheres e que apresenta uma alta taxa de mortalidade (INCA, 2019; Teixeira et al., 2020). Apesar da ampla variedade de tratamentos disponíveis, muitos apresentam efeitos adversos importantes por agirem sem especificidade em células de alta proliferação, além da possibilidade de recidivas e resistência à terapia utilizada (luchno et al., 2019; Teixeira et al., 2024). Na busca por novos tratamentos, estudos pré-clínicos realizados com venenos de animais demonstram sua capacidade de interferir em processos essenciais à progressão tumoral, como a angiogênese, proliferação celular, invasão tecidual e metástase; além de possuírem efeitos imunomodulatórios (Rapôso et al., 2017; Santos et al., 2019; Barreto et al., 2020; Bonfanti et al., 2020, Kisaki et al., 2021; Munhoz et al., 2021; Caballero et al., 2022).

Nosso grupo de pesquisa demonstrou que o veneno da aranha *Phoneutria nigriventer* (PnV) possui capacidade de interferir no ciclo celular, viabilidade, migração e proliferação de células tumorais (Santos *et al.*, 2019). Entre os peptídeos isolados do PnV, a molécula LW-9 apresentou atividades imunomodulatórias com indução de morte de células tumorais (Munhoz *et al.*, 2021, Mato *et al.*, 2023, Bonfanti, 2024). Em modelo murino de câncer de mama, a molécula LW-9 foi avaliada associada ou não à doxorrubicina, apresentando redução do volume tumoral, com aumento da eficácia do medicamento e redução dos seus efeitos adversos (dados ainda não publicados).

Diante disso, outros protocolos terapêuticos devem ser investigados. A quimioterapia neoadjuvante, administrada antes da cirurgia, busca reduzir o volume tumoral e viabilizar essa intervenção (Andrade *et al.*, 2013; MS, 2024). Já o tratamento adjuvante, realizado após a nodulectomia, reduz a taxa de mortalidade e aumenta a sobrevida global do paciente (MS, 2024).

Assim, o presente trabalho avaliou, em modelo murino, os protocolos de terapia neoadjuvante e adjuvante com a LW-9 associada ou não à doxorrubicina, visando propor modelos de tratamento mais próximos da prática clínica.

### **METODOLOGIA:**

Células da linhagem EO771 (adenocarcinoma mamário murino) derivadas de camundongos C57BL/6, foram descongeladas e cultivadas em garrafas de 25 cm² com meio IMDM completo (10% SFB, 50 mg/mL L-glutamina, Penicilina e Estreptomicina; Gibco Inc., Billings, MT, USA) a 37°C, em estufa com 5% de CO<sub>2</sub>. Ao atingirem ~95% de confluência, foram repicadas e expandidas até as passagens de 4 a 9.

Para os ensaios de inoculação tumoral utilizaram-se camundongos fêmeas C57BL/6 (8–10 semanas), provenientes do CEMIB/UNICAMP, mantidos no biotério do Instituto de Biologia/UNICAMP, sob condições controladas (12/12 h claro/escuro, água e ração *ad libitum*). O protocolo seguiu os princípios do COBEA e foi aprovado pela CEUA/UNICAMP (nº 6595-1/2025). Os animais foram divididos em duas replicatas (n=5/grupo) e receberam inoculação de 1,5x10<sup>5</sup> células, na região da quarta glândula mamária esquerda de forma epidermal. Eles foram monitorados a cada 48 horas até que fosse possível observar crescimento tumoral palpável (aproximadamente 0,2 cm de diâmetro). Após isso, foram divididos nos grupos experimentais, conforme a **Tabela 1**.

Tabela 1. Grupos de tratamento neoadjuvante e adjuvante

Tratamento	Controle	LW-9 1µg/mL	LW-9 1µg/mL + Doxorrubicina 5mg/kg	Doxorrubicina 5mg/kg		
Neoadjuvante	Soro fisiológico via i.p. em 100 µl, a cada 48hs, durante 21 dias. Total de 11 doses	Peptídeo LW-9 via i.p. diluído em 100 µl de soro fisiológico, a cada 48hs, durante 21 dias. Total de 11 doses	Peptídeo LW-9 diluído em 100 µl de soro fisiológico a cada 48hs, e 1 dose semanal de doxorrubicina diluída em 150 µl de soro fisiológico, via i.p. durante 21 dias. Total de 11 doses da LW-9 e 3 doses da doxorrubicina.	Doxorrubicina diluída em 150 µl de soro fisiológico, 1 dose semanal, via i.p. durante 21 dias. Total de 3 doses.		
Adjuvante	Soro fisiológico via i.p. em 100 µl, a cada 48hs, durante 15 dias. Total de 8 doses.	Peptídeo LW-9 via i.p. diluído em 100 µl de soro fisiológico, a cada 48hs, durante 15 dias. Total de 8 doses	Peptídeo LW-9 diluído em 100 µl de soro fisiológico a cada 48hs, e 1 dose semanal de doxorrubicina diluída em 150 µl de soro fisiológico, via i.p. durante 15 dias. Total de 8 doses da LW-9 e 2 doses da doxorrubicina.	Doxorrubicina diluída em 150 µl de soro fisiológico, 1 dose semanal, via i.p. durante 15 dias. Total de 2 doses.		

<sup>\*</sup> Via intraperitoneal: i.p.

#### Procedimento cirúrgico:

Após o período de tratamento, os animais foram submetidos a cirurgia de ressecção da massa tumoral. Inicialmente, os camundongos foram aclimatados na sala de procedimento do biotério durante 1 hora. No pré-operatório, foi realizado o analgésico buprenorfina 0,02 mg/kg, via subcutânea, 5 minutos antes da anestesia. A indução anestésica foi realizada com cetamina 80 mg/kg e xilazina 10 mg/kg e mantida com isoflurano 1% em oxigênio durante o procedimento (**Figura 1A**).



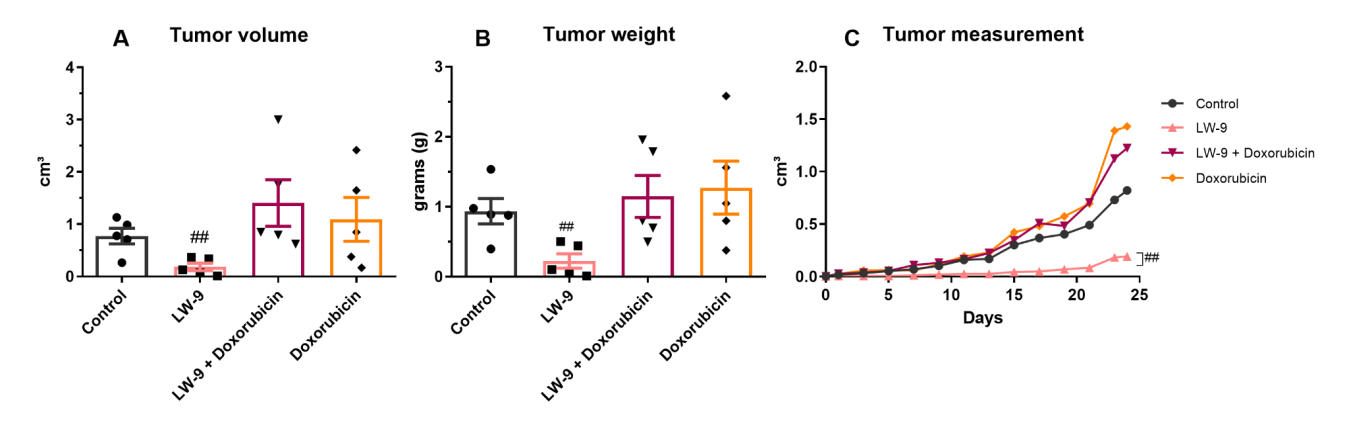
Figura 1. Preparação do camundongo para realização do procedimento cirúrgico. A) Animal em câmara de anestesia. B) Local da cirurgia após tricotomia e assepsia.

A região da glândula mamária foi tricotomizada e desinfetada com álcool 70% (**Figura 1B**). A massa tumoral foi então ressecada com auxílio de bisturi e tesoura de metzenbaum, o tumor obtido foi fixado em solução de formalina 4%. A sutura foi realizada com fio de nylon 4.0 mm, o local foi limpo com água oxigenada 10% e foi aplicada a pomada vetaglós®, para auxiliar na cicatrização. No pós-operatório, os animais receberam injeção subcutânea de buprenorfina 0,01 mg/kg, por 3 dias a cada 12 horas e dipirona 80 mg/kg, por via oral em dose única. Após a cicatrização completa (20 a 30 dias) e recuperação do

procedimento cirúrgico, foi iniciado o tratamento adjuvante, que durou 15 dias. A sobrevida foi avaliada por 60 a 68 dias, após tratamento neoadjuvante e adjuvante. O material biológico foi coletado (cérebro, pulmão, fígado e tumor) e fixado em solução de formalina 4%, as amostras de sangue foram transferidas para tubos de EDTA e bioquímico para realização do hemograma, função renal (uréia e creatinina), função hepática (fosfatase alcalina - FA) e cálcio ionizado.

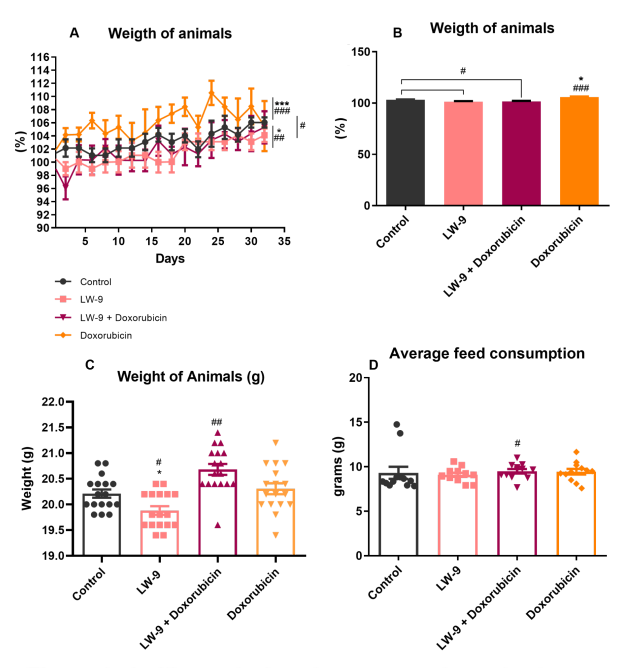
# **RESULTADOS E DISCUSSÃO:**

Os animais desenvolveram tumor em 10 dias de inoculação. No tratamento neoadjuvante, o grupo tratado com a LW-9 apresentou redução significativa do volume e peso tumoral, comparado ao grupo controle (p <0,01) (**Figura 2A e 2B**), além de redução do crescimento tumoral, quando comparado ao controle (p <0,01) (**Figura 2C**), e melhora no bem-estar dos animais.



**Figura 2. A)** Volume tumoral após ressecção cirúrgica. **B)** Peso tumoral. **C)** Acompanhamento do crescimento tumoral durante o tratamento neoadjuvante. Resultado de duas replicatas experimentais. Média ± SEM; One-way ANOVA, seguido pelo teste t-student. Níveis de significância considerados em comparação ao controle: p <0,05 (\*), p <0,01 (\*\*\*) e p <0,001 (\*\*\*) e p <0,05 (#), p <0,01 (##). Software GraphPad Prism.

Os animais tratados com a doxorrubicina apresentaram aumento significativo de peso percentual, comparado ao grupo controle (p <0,001 ao longo dos dias; média p <0,001 e p <0,05), enquanto os grupos da LW-9 (p <0,05 e p <0,01 ao longo dos dias; média p <0,05) e da LW-9 associada à doxorrubicina (p <0,05 ao longo dos dias; média p <0,05) apresentaram redução no peso (**Figura 3A e 3B**). O grupo da LW-9 apresentou redução no peso absoluto (p <0,05) e o grupo da LW-9



**Figura 3.** Análises relacionadas ao peso dos animais e ao consumo de ração. **A)** Consumo percentual de ração dos animais, gráfico de linhas. **B)** Peso percentual dos animais, gráfico de barras. **C)** Peso absoluto dos animais, gráfico de barras. **D)** Consumo de ração. Resultado de duas replicatas experimentais. Média  $\pm$  SEM; One-way ANOVA, seguido pelo teste t student. Níveis de significância considerados em comparação ao controle: p <0,05 (\*), p <0,01 (\*\*) e p <0,001 (\*\*\*) e p <0,05 (#), p <0,01 (###) . Software GraphPad Prism.

associada à doxorrubicina apresentou aumento (p <0,01), comparado ao controle (**Figura 3C**). O consumo de ração foi significativamente maior no grupo da associação (p <0,05) (**Figura 3D**).

A cirurgia foi padronizada, no entanto, devido a complicações operatórias, como presença de tumores de tamanho elevado e a profundidade de crescimento no tecido, alguns animais foram a óbito. Isso resultou nos seguintes números amostrais: controle (n=2), LW-9 (n=3), LW-9 associado à doxorrubicina (n=1), doxorrubicina (n=3). A cicatrização completa dos animais ocorreu após 20 dias de procedimento e o tratamento adjuvante foi iniciado após entre 20 a 30 dias. Os animais do grupo LW-9 associado à doxorrubicina e doxorrubicina apresentaram recidiva.

Com relação aos exames laboratoriais, todos os animais apresentaram uremia e o grupo da LW-9 e da doxorrubicina apresentaram leve aumento de creatinina. Essas alterações renais podem ter sido causadas pela cirurgia e tratamentos. O grupo LW-9 e

da associação apresentaram redução da fosfatase alcalina. O cálcio ionizado no grupo da LW-9 mostrou-se reduzido, o que pode indicar baixa atividade tumoral. Nos grupos com a doxorrubicina o marcador se mostrou aumentado, o que pode demonstrar resistência e recidiva tumoral (**Tabela 2**).

Tabela 2. Resultados dos exames bioquímicos.

Parâmetro	Ureia 17,0 - 28,0 mg/dL		Creatinina 0,3 - 1 mg/dL		Fosfatase alcalina 100 - 184 U/L			Cálcio ionizado 4,6 - 5,4 mg/dL				
Animal	1	2	3	1	2	3	1	2	3	1	2	3
Controle	58,0 ↑	59,0 ↑	-	0,62	0,54	-	160,0	132,0	-	5,00	5,40	-
LW-9	60,0 ↑	80,0 ↑	41,0 ↑	1,10 ↑	1,30 ↑	0,51	75,0 ↓	145,0	101,0	4,20 ↓	4,20 ↓	5,60 ↑
LW-9 + Doxo	55,0 ↑	-	-	0,57	-	-	54,0 ↓	-	-	6,20 ↑	-	-
Doxo	84,0 ↑	55,0 ↑	59,0 ↑	1,08 ↑	0,68	0,44	120,0	103,0	121,0	6,40 ↑	5,30	5,70 ↑

<sup>\*</sup> Doxo: Doxorrubicina.

O grupo tratado com a LW-9 apresentou aumento de leucócitos e de monócitos, indicando uma possível resposta do sistema imunológico no combate da doença (**Tabela 3**).

Tabela 3. Resultados dos exames hematológicos.

Parâmetro	Leucócitos	Neutrófilos	Monócitos	Eosinófilos
	1990 - 12.130/uL	99 - 4488/uL	121 - 364/uL	0 - 121/uL
	1000 121100/42			• 121142

Animal	1	2	3	1	2	3	1	2	3	1	2	3
Controle	3800	5200	-	9% - 342	19% - 988	-	2% - 76 ↓	0% - 0 ↓	-	0% - 0	1% - 52	-
LW-9	4200	5700	8600	2% - 84 ↓	4% - 228	11% - 946	3% - 126	1% - 57 ↓	3% - 258	1% - 42	0 % - 0	0% - 0
LW-9 + Doxo	5900	-	-	27% - 1.593	-	-	2% - 118 ↓	-	-	0% - 0	-	-
Doxo	2200	8100	2300	10% - 220	25% - 2.025	15% - 345	1% - 22 ↓	1% - 81 ↓	5% - 115	0% - 0	1% - 81	1% - 23

## **CONCLUSÕES:**

O peptídeo LW-9 demonstrou potencial terapêutico pela redução do volume e peso tumoral, e também pela melhora do bem-estar dos animais. Além disso, o procedimento cirúrgico foi otimizado apresentando cicatrização cirúrgica satisfatória. Houveram recidivas nos grupos tratados com a LW-9 associada à doxorrubicina e doxorrubicina isolada. Os exames demonstraram possível resposta do sistema imunológico com aumento de leucócitos e monócitos, principalmente no grupo tratado com a LW-9. Ademais, os animais apresentaram alteração renal e o marcador tumoral cálcio ionizado apresentou diminuição no grupo da LW-9, o que pode indicar controle da progressão da doença. As alterações observadas no presente estudo serão investigadas futuramente.

### **BIBLIOGRAFIA**

ANDRADE, D. A. P. DE. et al. Quimioterapia neoadjuvante e resposta patológica: coorte retrospectiva. einstein (São Paulo), v. 11, n. 4, p. 446–450, out. 2013.

BARRETO, N. *et al.* Spider venom components decrease glioblastoma cell migration and invasion through RhoA-ROCK and Na+/K+-ATPase β2: potential molecular entities to treat invasive brain cancer. Cancer Cell International, v. 20, n. 1, p. 576, 2020.

BONFANTI, A. P. *et al.* Spider venom administration impairs glioblastoma growth and modulates immune response in a non-clinical model. Scientific Reports, v. 10, n. 1, p. 1-16, 2020.

BONFANTI, A. P. Terapia celular com macrófagos e células NK moduladas ex vivo por peptídeos isolados de veneno animal: uma nova abordagem em imunoterapia para tratamento do câncer. 2024. 199P. Tese (Doutorado em Biologia Molecular e Morfofuncional) – Instituto de Biologia, Universidade Estadual de Campinas, 2024.

CABALLERO, M. *et al.* Isolated componentes from spider venom targeting human glioblastoma cells and its potential combined therapyp with rapamycin. Frontiers in Molecular Biosciences, v. 9, p. 752668, 2022.

INCA. Instituto Nacional de Câncer José Alencar Gomes da Silva. A situação do câncer de mama no Brasil: síntese de dados dos sistemas de informação. / Instituto Nacional de Câncer José Alencar Gomes da Silva. – Rio de Janeiro: INCA, 2019.

IUCHNO, C. W., CARVALHO, G. P. Toxicidade e efeitos adversos decorrente do tratamento quimioterápico antineoplásico em pacientes pediátricos: revisão integrativa. Ciência & Saúde v. 12, n. 1, p. e30329, 2019.

KISAKI, C.Y. et al. Bothrops jararaca snake venom modulates key cancer-related proteins in breast tumor cell lines. Toxins (Besel), v. 13, n. 8, p. 519, 2022.

MATO, F. C. et al. Isolated peptide from spider venom modulates dendritic cells in vitro: a possible application in oncoimmunotherapy for glioblastoma. Cells, v. 12, n. 7, p. 1023, 2023.

MS. Ministério da Saúde. Relatório de recomendação: Protocolo clínico e diretrizes terapêuticas - câncer de mama. Brasília, DF, 2024.

MUNHOZ, J. et al. Components from spider venom activate macrophages against glioblastoma cells: new potential adjuvants for anticancer immunotherapy. Journal of Biochemistry, v. 170, n. 1, p. 51-68, 2021.

RAPÔSO, C. Scorpion and spider venoms in cancer treatment: state of the art, challenges, and perspectives. Journal of clinical and translational research, v. 3, n. 2, p. 233, 2017.

SANTOS, N. B.; et al. Venom of the *Phoneutria nigriventer* spider alters the cell cycle, viability, and migration of cancer cells. Journal of Cellular Physiology, v. 234, n. 2, p. 1398, 2019.

TEIXEIRA, L. A.; ARAÚJO NETO, L. A.. Câncer de mama no Brasil: medicina e saúde pública no século XX. Saúde e Sociedade, v. 29, n. 3, p. e180753, 2020.

TEIXEIRA, N. R. et al. Mecanismos celular de resistência ao tratamento do câncer: Uma revisão integrativa da literatura. X Fórum Rondoniense de Pesquisa, v. 5, n. 10, p. 1-5, 2024.